

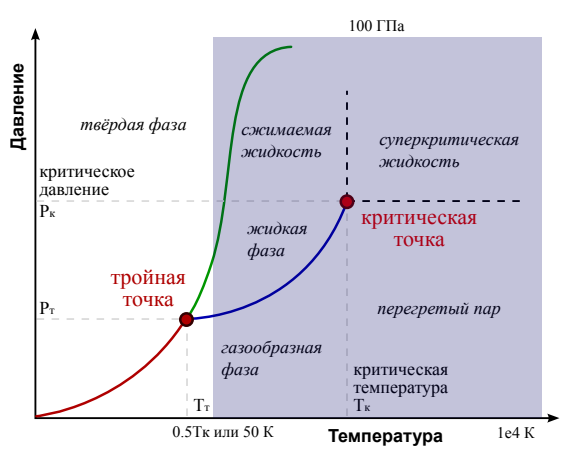
### Уравнение состояния плотных реагирующих газов для описания ударных и детонационных волн

Прууэл Э.Р. pru@hydro.nsc.ru

Институт гидродинамики им. М.А. Лаврентьева СО РАН, Новосибирск, Россия

Март 2020 г.

#### Область существования модели



#### Моделируемые явления.

- Химические реакции.
- Взаимодействие молекул.
- Фазовые переходы.

### Уравнение состояния разреженных газов

$$Z = \sum_{n} e^{-E_{n}/kT}$$
 – статистическая сумма системы.

$$F = -kT \ln Z$$
 – свободная энергия,

$$E=rac{1}{Z}\sum_{n}E_{n}e^{-E_{n}/kT}=rac{-1}{Z}rac{\partial Z}{\partial (1/kT)}$$
 — внутренняя энергия,

$$H = E - pV$$
 – энтальпия.

Табличные данные термодинамических параметров химических компонент.

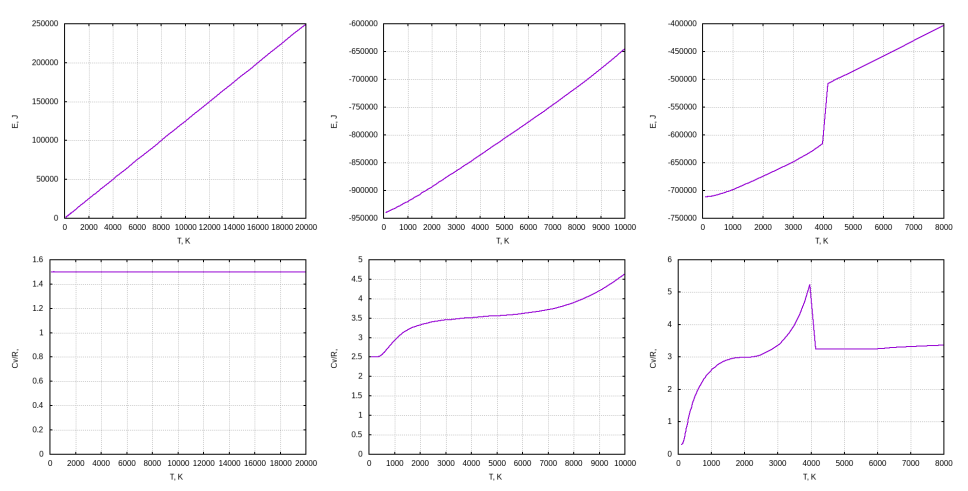
- ▶ В.П. Глушко Термодинамические свойства индивидуальных веществ (!!), D. Stall.
- ▶ NIST Chemistry WebBook. Термодинамические данные для 7 000 соединений.
- NASA online CEA. Термодинамические и газодинамические расчеты для 2 000 химических соединений.

 $E_i(T) = E_i'(T) + E_i^0$  – энергия молекулы складывается из энергии внутренних степеней свободы –  $E_i'(T)$  и энергии формирования соединения при 0 K –  $E_i^0$ .

$$F_i(N_i,V,T) = \left[ egin{array}{l} -N_ikT \left[ \ln \left( f_i(T) p_a/p_i 
ight) + 1 - E_i^0/kT 
ight] - \mbox{для газовой компонеты,} \ -N_ikT \left[ \ln \left( f_i(T) 
ight) + 1 - E_i^0/kT 
ight] - \mbox{для конденсированной компоненты.} \end{array} 
ight]$$

$$F(V,T) = \sum F_i(N_i,V,T).$$

#### Термодинамические характеристики одной химической компоненты



Зависимости E и  $c_{\nu}$  от температуры для компонент:  $He,\ N_2$  и графита.

#### Определение термодинамических характеристик смеси газов

Рассматривается NVT ансамбль.

- $F(V,T) = \sum F_i(N_i,V,T)$  минимизируя свободную энергию, при зафиксированном брутто-составе, находится химический состав  $(\nu_i)$ .
- ▶ По известному химическому составу определяется давление и энергия системы:  $E(T) = \begin{bmatrix} \sum_i \nu_i (h_i(T) RT) \\ \sum_i \nu_i h_i(T) p_0 V_{cond\,i} \end{bmatrix} \text{ энергия смеси.}$

$$p = 
u_{gase} RT/V_{gase}$$
 — давление, где  $V_{gase} = V - \sum_i V_{condi}$ .

- ▶ Численно вычисляются  $\left(\frac{\partial p}{\partial \rho}\right)_{\!\!\!\!T}$ ,  $\left(\frac{\partial p}{\partial T}\right)_{\!\!\!\rho}$ ,  $\left(\frac{\partial E}{\partial \rho}\right)_{\!\!\!T}$ ,  $\left(\frac{\partial E}{\partial T}\right)_{\!\!\!\rho}$ .
- Остальные характеристики вычисляются по термодинамическим соотношениям:

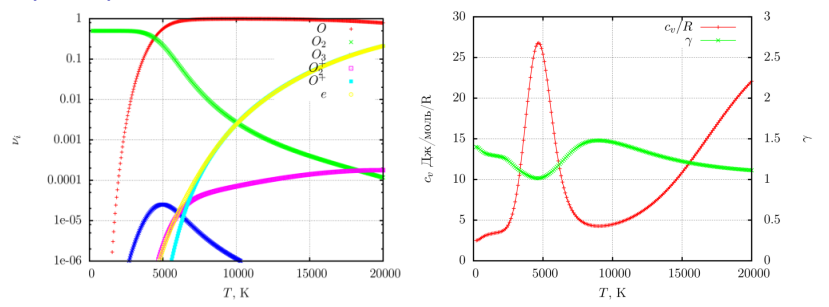
$$c_{v} = \left(\frac{\partial E}{\partial T}\right)_{\rho},$$

$$c_{\rho} = c_{v} + \left(\frac{pm}{\rho^{2}} - \left(\frac{\partial E}{\partial \rho}\right)_{T}\right) \left(\frac{\partial p}{\partial T}\right)_{\rho} / \left(\frac{\partial p}{\partial \rho}\right)_{T},$$

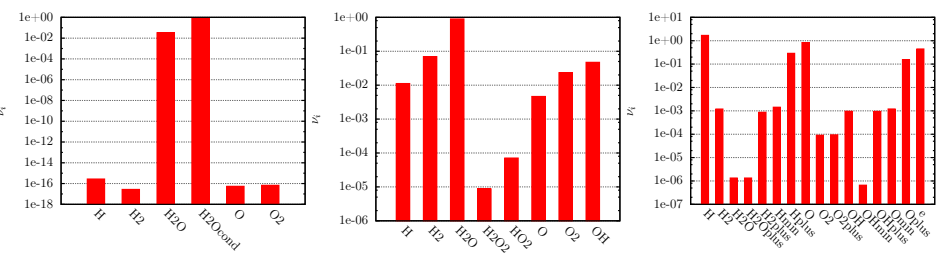
$$c_{sound} = \left(\frac{\partial p}{\partial \rho}\right)_{S}^{1/2} = \left(\left(\frac{\partial p}{\partial \rho}\right)_{T} \frac{c_{p}}{c_{v}}\right)^{1/2},$$

$$\gamma = \left(\frac{\partial p}{\partial \rho}\right)_{S} \frac{\rho}{\rho} = \left(\frac{\partial p}{\partial \rho}\right)_{T} \frac{c_{p}}{c_{v}} \frac{\rho}{\rho}.$$

#### Примеры определения химического состава смесей



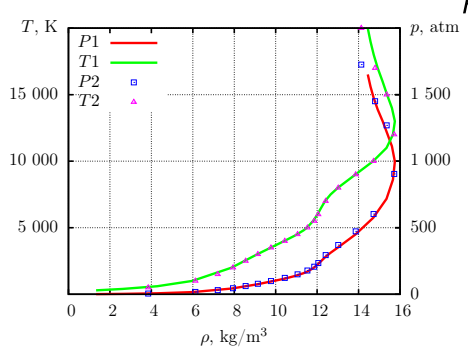
Параметры равновесной смеси на основе кислорода.



Равновесный химический состав смеси с брутто составом 2H+O (вода) при температуре 300, 3 000 and 20 000 К. При плотности 1 кг/м<sup>3</sup>.

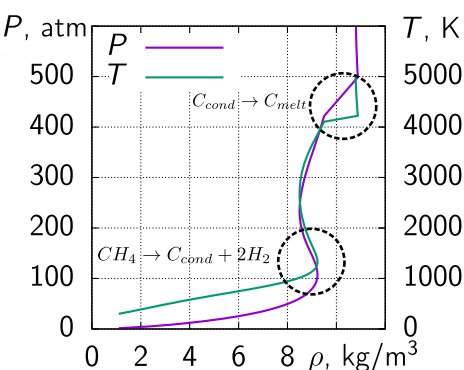
#### Ударные волны. Адиабата Гюгонио

$$arepsilon_2 - arepsilon_1 = (p_2 + p_1)(1/
ho_1 - 1/
ho_2)/2$$
 – адиабата Гюгонио.



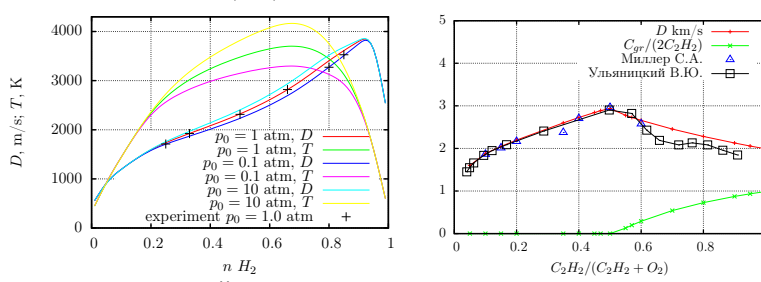
Ударная волна в атмосфере сухого воздуха: состав  $0.78084~N_2,~0.20946~O_2,~0.00932~Ar,~0.0004~CO_2,~0.0004~CO_2$ 

 $p_0 = 101325 \; \text{Ha}, \; T_0 = 298.15 \; \text{K}.$ 



Ударная волна в метане:  $p_0=101325~\Pi a,~T_0=298.15~K.$ 

## Детонационные волны (D=u+c)



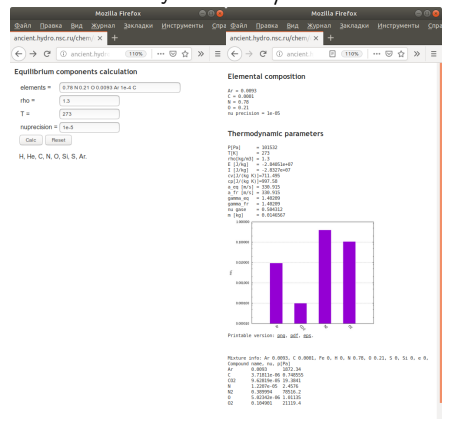
Детонация газовых смесей водорода и ацетилена с кислородом.

Состав смеси	<i>D<sub>e</sub></i> , м/с	<i>D<sub>c</sub></i> , м/с	$(D_c-D_e)/D_e$
	эксперимент	расчет	ошибка
$(2H_2+O_2)$	2819	2838	0.0067
$(2H_2+O_2)+O_2$	2314	2323	0.0038
$(2H_2+O_2)+3O_2$	1922	1933	0.0057
$(2H_2+O_2)+5O_2$	1710	1736	0.011
$(2H_2+O_2)+2H_2$	3273	3405	0.040
$(2H_2+O_2)+4H_2$	3527	3663	0.038

Для широкого круга явлений предположение химического равновесия вполне приемлемо!

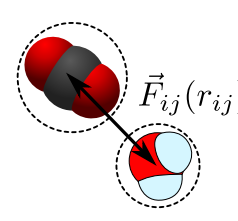
#### Калькулятор термодинамических параметров с web интерфейсом

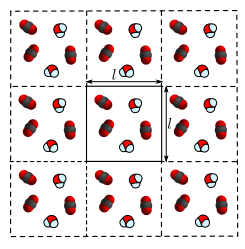
#### www.ancient.hydro.nsc.ru/chem



- Вычисление равновесного химического состава смеси газов на основе элементов H, He, C, N, O, Si, S, Ar, Fe (130 соединений) в диапазоне температур 200 - 20 000 K.
- Вычисление ряда термодинамических параметров: давление, энтальпия, внутренняя энергия, теплоемкости, показатель адиабаты равновесный и замороженный.
- Построение равновесных и замороженных ударных адиабат.
- Определение термодинамических параметров горения при v=const и p=const.
- Определение параметров стационарных детонационных волн.
- ▶ Учтена возможность формирования конденсированных фаз C,  $H_2O$ , S,  $SiO_2$ , Si, Fe, FeO,  $Fe_2O_3$ ,  $Fe_3O_4$ , FeS,  $FeS_2$ .

# Смесь плотных газов с фиксированным химическим составом. Статистические методы Монте-Карло





Численно решается задача классической молекулярной динамики при фиксированном химическом составе (3d NVT ансамбль, периодические граничные условия, Верле в скоростной форме).

Количество частиц  $N \approx 50$ , время усреднения параметров несколько I/c.

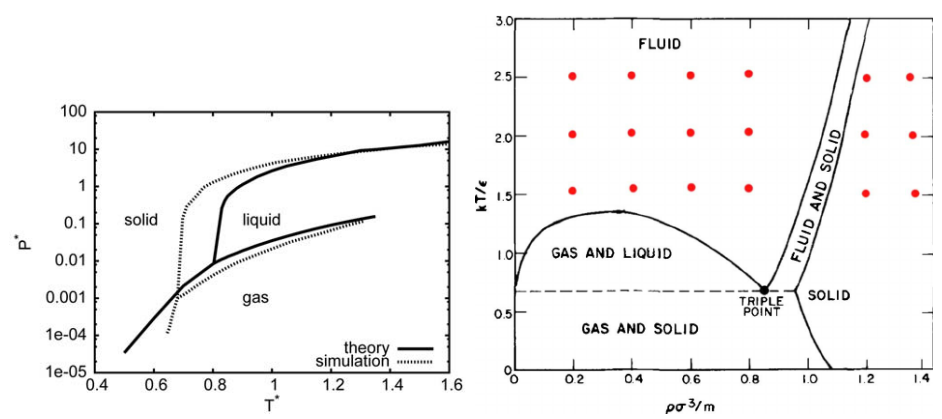
$$U=4arepsilon\left(\left(rac{b}{r}
ight)^{12}-\left(rac{b}{r}
ight)^{6}
ight)$$
 — потенциал Леннарда-Джонса,

$$U_{\exp-6}=rac{arepsilon}{1-6/lpha}\left(\left(rac{6}{lpha}
ight)\exp\left[lpha\left(1-rac{r}{b}
ight)
ight]-\left(rac{b}{r}
ight)^6
ight)$$
 — потенциал exp-6.

Полное давление и внутреннюю энергию системы определяются по следующим соотношениям:  $PV = NkT - 1/6\sum_{i=1}^{N}\sum_{j\neq i}^{\infty}r_{ij}F(r_{ij}),$ 

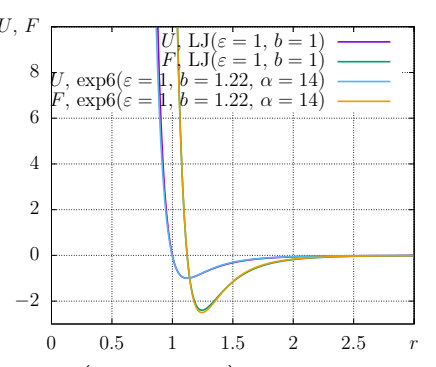
$$E = 1/2 \sum_{i=1}^{N} \sum_{j \neq i}^{\infty} U(r_{ij}) + \sum_{i=1}^{N} N_i E_i(T)$$

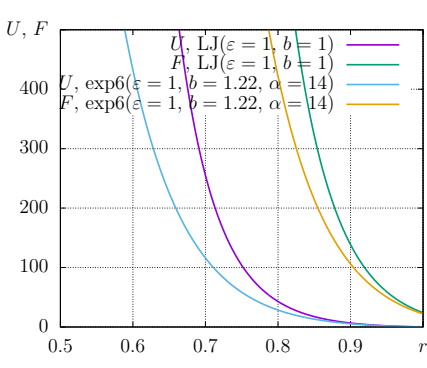
# Фазовая диаграмма системы частиц взаимодействующих с потенциалом Леннарда-Джонса



Параметры в критической точке:  $k_B T_c/\varepsilon = 1.326$ ,  $\rho_c b^3/m = 0.316$ ,  $p_c b^3/\varepsilon = 0.111$ .

#### Сравнение потенциалов Леннарда-Джонса и ехрб





$$U=4arepsilon\left(\left(rac{b}{r}
ight)^{12}-\left(rac{b}{r}
ight)^{6}
ight)$$
 — потенциал Леннарда-Джонса,

$$U_{\exp-6}=rac{arepsilon}{1-6/lpha}\left(\left(rac{6}{lpha}
ight)\exp\left[lpha\left(1-rac{r}{b}
ight)
ight]-\left(rac{b}{r}
ight)^6
ight)$$
 — потенциал exp-6.

При отношении  $b_{\exp - 6}/b_{LJ} = 1.22$  потенциалы близки вблизи минимума.

#### Калибровка потенциалов через критическую точку

$$k_B T_c/\varepsilon = 1.326(2), \; \rho_c b^3/m = 0.316(5), \; \rho_c b^3/\varepsilon = 0.111(2).$$
 
$$N_2, \; T_c = 126 \; \text{K}, \; \rho_c = 0.0034 \; \text{GPa}, \; \rho_c = 313 \; \text{kg/m}^3$$
 
$$p/\rho_c \\ 1000 \\ \text{NIST } 0.6 T_c \\ \text{NIST } 2.0 T_c \\ \text{calc } 0.6 T_c \\ \text{calc } 1.0 T_c \\ \text{calc } 1.0 T_c \\ \text{calc } 2.0 T_c \\ \text{calc } 2.0 T_c \\ \text{10}$$

"Хорошие" вещества.

"Плохие" вещества.

Ограничения: квантовые эффекты для легких газов, полярные молекулы, разделение фаз, нет ионизации.

Калибровка в области параметров: давление от "0" до 1  $\Gamma\Pi$ а, температура 100-1000 K.

#### Химическое равновесии в смеси плотных газов (Reactive Monte Carlo).

Энергия внутренних степеней свободы (вращения, колебания и электронные возбуждения) зависит только от температуры.

При фиксированных V и T вероятность нахождения системы в состоянии с химическим составом  $N_i - \prod_i \left( (f_i(T)V)^{N_i}/N_i! \right) e^{-(U(\vec{r_i},...\vec{r_i}) + \sum_i N_i E_i(T))/kT}$ .

Строится последовательность Маркова из состояний с разным химическим составом. По теореме о локальном равновесии определяются вероятности переходов.

Алгоритм поиска химического равновесия

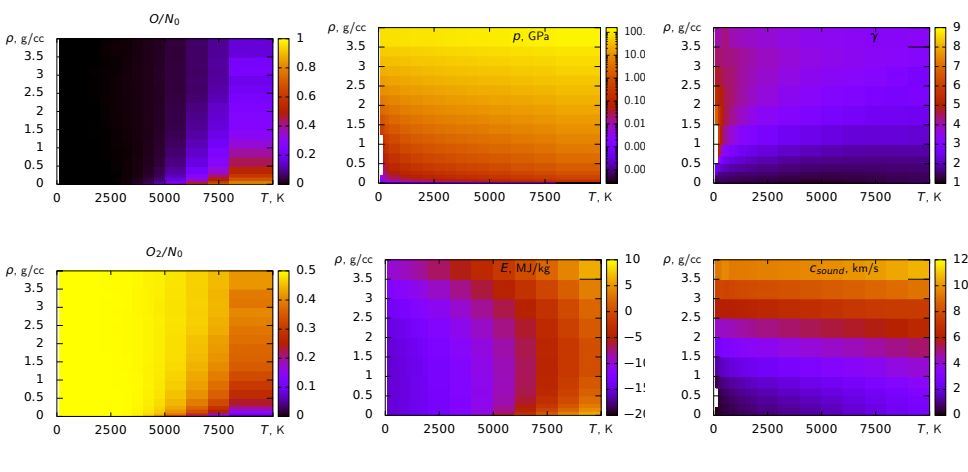
- ▶ Поменять состав в соответствии с балансом химической реакции  $(1N_2)$  заменить на 2N. Рассматриваются три состояния: прямая реакция, обратная реакция и исходный химический состав.
- Для каждого из трех состояний вычисляется полная энергия.
- С учетом статистического веса состояний определяются вероятности трех переходов. Производится выбор.
- Процедура повторяется до установления равновесия и получения нужной точности для усредняемых величин (давление и внутренняя энергия).

Удается рассмотреть относительно ограниченный набор химических компонент: C,  $C_{cond}$ , O,  $O_2$ , H,  $H_2$ , N,  $N_2$ , NO, CO,  $CO_2$ ,  $H_2O$ , OH,  $CH_4$ ,  $NH_3$ .

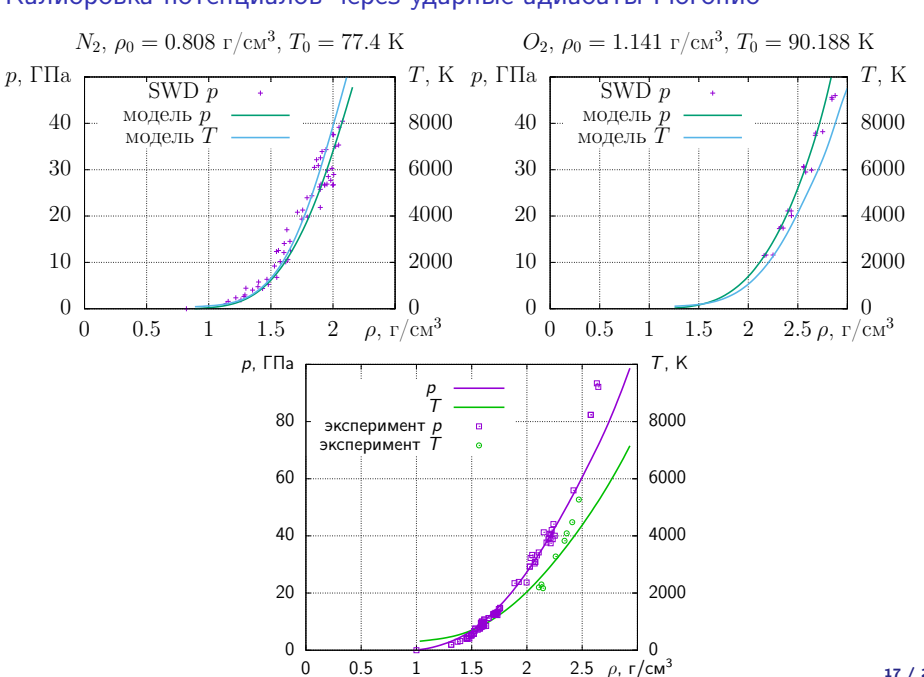
#### Вычисление термодинамических параметров смеси

$$\begin{split} c_v &= \left(\frac{\partial E}{\partial T}\right)_{\!\!\rho}, \\ c_\rho &= c_v + \left(\frac{pm}{\rho^2} - \left(\frac{\partial E}{\partial \rho}\right)_{\!\!T}\right) \left(\frac{\partial p}{\partial T}\right)_{\!\!\rho} / \left(\frac{\partial p}{\partial \rho}\right)_{\!\!T}, \\ c_{sound} &= \left(\frac{\partial p}{\partial \rho}\right)_{\!\!S}^{1/2} = \left(\left(\frac{\partial p}{\partial \rho}\right)_{\!\!T} \frac{c_p}{c_v}\right)^{1/2}, \\ \gamma &= \left(\frac{\partial p}{\partial \rho}\right)_{\!\!S} \frac{\rho}{p} = \left(\frac{\partial p}{\partial \rho}\right)_{\!\!T} \frac{c_p}{c_v} \frac{\rho}{p}. \end{split}$$

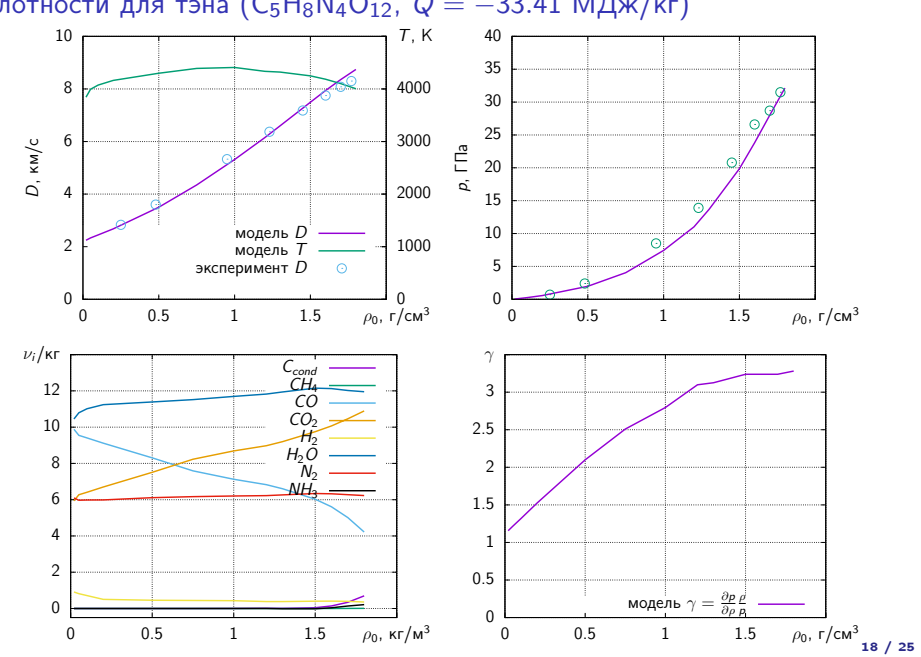
#### Термодинамика смеси из O и $O_2$



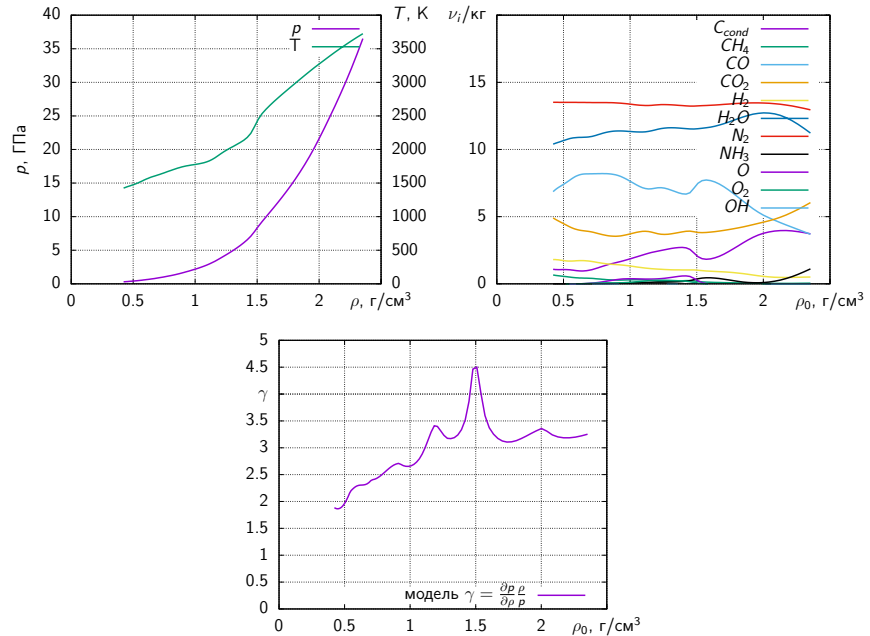
### Калибровка потенциалов через ударные адиабаты Гюгонио



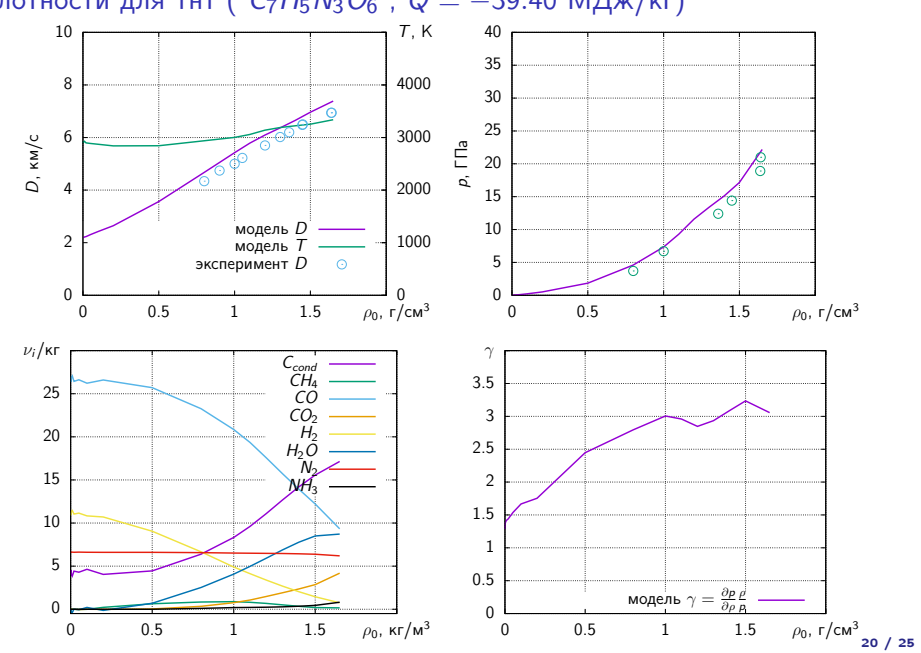
# Зависимость параметров детонации Чепмена-Жуге от начальной плотности для тэна ( $C_5H_8N_4O_{12},\ Q=-33.41\ MДж/кг$ )



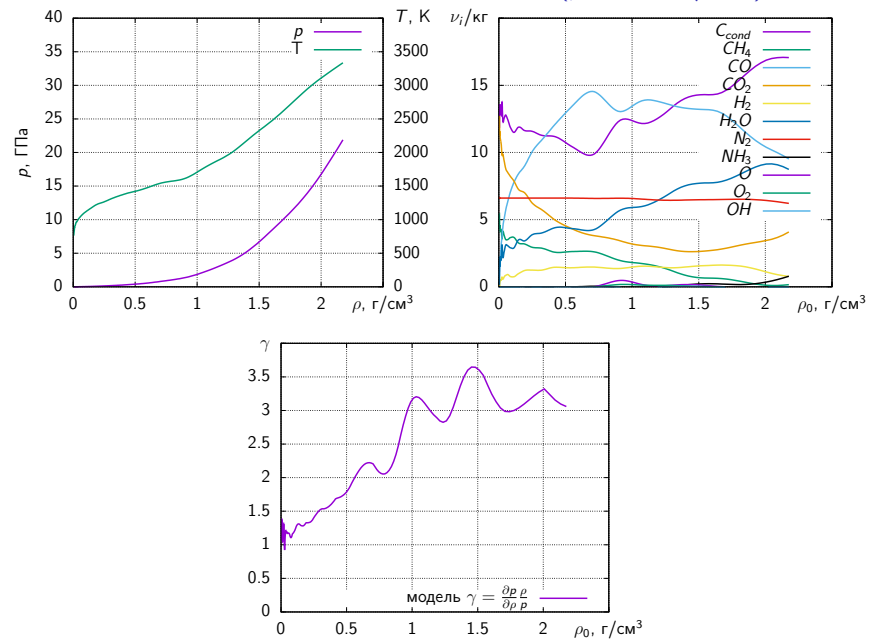
## Адибата разгрузки продуктов детонации гексогена ( $ho_0 = 1.7~{ m г/cm}^3$ )



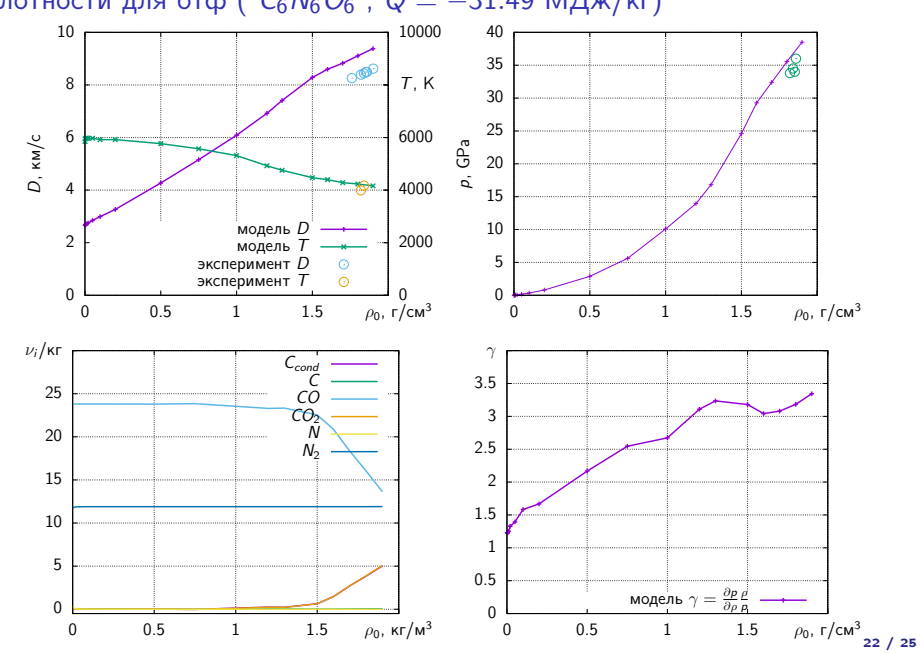
# Зависимость параметров детонации Чепмена-Жуге от начальной плотности для тнт ( $C_7H_5N_3O_6$ , $Q=-39.40~{\rm MJm/kr}$ )



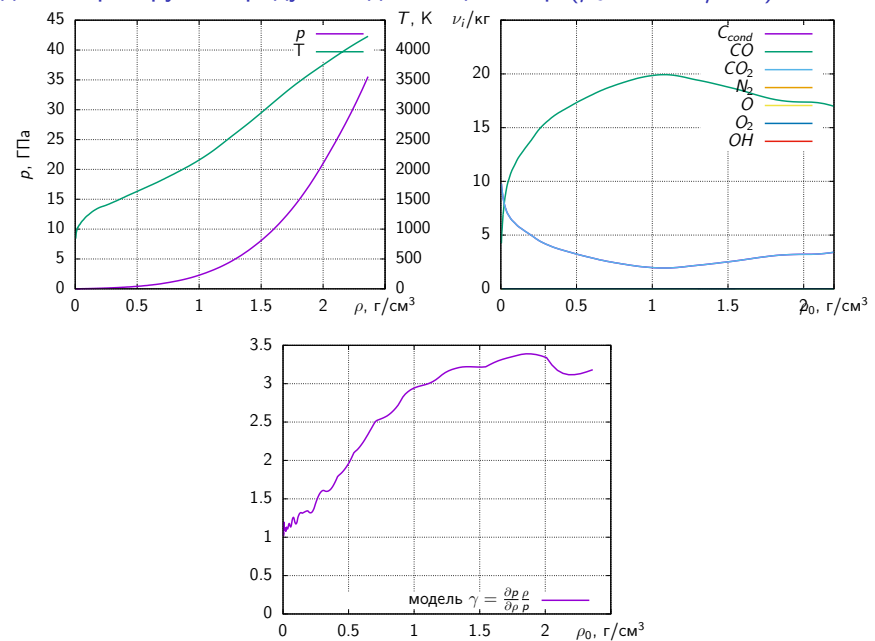
## Адибата разгрузки продуктов детонации тнт $( ho_0=1.6~{ m r/cm}^3)$



# Зависимость параметров детонации Чепмена-Жуге от начальной плотности для бтф ( $C_6N_6O_6$ , $Q=-31.49~{\rm MДж/кг})$



### Адибата разгрузки продуктов детонации бтф $( ho_0 = 1.7 \; \text{г/см}^3)$



#### Инструментарий

- ▶ Ядро: C++, openMP, gcc -O3, GNU Scientific library.
- ► Тесты: bash, python.
- Ssh, mc, mcedit, gedit, sshfs (user@nks-1p.sscc.ru: /home/user/sscc -o IdentityFile=/home/user/.ssh/id\_rsa\_sscc).

#### Пожелания:

- Неконтролируемые "подвисания" (возможно файловая система).
- Получение информации об эффективности параллельного исполнения программы.
- Расширенные настройки управления очередью исполнения.

- Используя парный межчастичный потенциал, построена модель равновесной смеси химически реагирующих газов.
- Проведена калибровка модели в диапазоне низких давлений по фазовым переходам (жидкость - пар), в области больших давлений по ударным и детонационным адиабатам.
- ▶ Ограничения и дальнейшее развитие.

## Спасибо за внимание

http://ancient.hydro.nsc.ru/chem